

Research Paper

# Transient Absorption Spectroscopy of Deionized Water by Ti: Sapphire Femtosecond Laser Pulses<sup>1</sup>

Fereshteh Hajiesmaeilbaigi<sup>\*2</sup>, Hosein Razzaghi<sup>3</sup>, Eftehkar Sadat Bostandoost<sup>4</sup> and Asma Sadat Motamed<sup>5</sup>

Received: 2024.09.15

Revised: 2024.12.07

Accepted: 2024.12.23

## 1. Introduction

In the past decade, studying of photophysical and photochemical processes has led to numerous applications across various fields, from physics to medicine. While many of these processes occur rapidly, the response times of conventional electronic devices are often inadequate for measuring such fast events. The spontaneous lifetimes of most transient excited states typically fall within the femto- or picosecond timescales, necessitating high-resolution spectroscopy methods to capture light-induced intermediate reactions. Transient absorption spectroscopy, based on the pump-probe method, is a powerful technique that employs ultrashort laser pulses to investigate the photophysical and photochemical properties of materials. Given that water is the primary solvent in most chemical solutions and a major component of biological tissues, ultrafast probe methods are essential for exploring the microscopic dynamics of water when excited by light. To our knowledge, amplified pulses from a Ti: sapphire laser, with energies ranging from several microjoules to millijoules, have been utilized to study the dynamics of water molecules. This article examines the fundamental principles of transient absorption spectroscopy. We implement a pump-probe setup using both the fundamental and second harmonic wavelengths of Ti: sapphire femtosecond laser pulses to investigate the time evolution of transient absorption spectra of deionized water. Notably, this study utilizes energy pulses of approximately

<sup>1</sup> <https://doi.org/10.22051/ijap.2024.48277.1425>

<sup>2</sup>Professor, Photonic & Quantum Technologies Research School, Nuclear Since & Technologies Research Institute, Tehran, Iran. (Corresponding Author) Email: fesmaeilbaigi.aeo.org, fbaigi2000@yahoo.com

<sup>3</sup>MSc Graduated, Photonic & Quantum Technologies Research School, Nuclear Since & Technologies Research Institute, Tehran, Iran. Email: hrazaghi2016@gmail.com

<sup>4</sup>MSc Graduated, Photonic & Quantum Technologies Research School, Nuclear Since & Technologies Research Institute, Tehran, Iran. Email: meygolbostan@yahoo.com

<sup>5</sup> Assistant Professor, Photonic & Quantum Technologies Research School, Nuclear Since & Technologies Research Institute, Tehran, Iran. Email: asma.motamed@yahoo.com

<https://jap.alzahra.ac.ir>



1-3 nanojoules, significantly lower than those typically required for the dissociation or ionization of water molecules.

## 2. Methodology

The pump and probe beams originate from a single laser pulse in transient absorption spectroscopy. In transient absorption spectroscopy, the pump and probe beams originate from a single laser pulse. The pump pulse excites the sample, while the probe pulse detects the differential absorbance of the excited sample. We measure the intensity of the probe beam transmitted through the sample both with and without the pump beam, for various pump-probe delays ( $\Delta t$ ) at a fixed wavelength ( $\lambda$ ). The measured signals are represented as the absorbance of the sample with ( $A_p$ ) and without ( $A_{np}$ ) the pump beam. Thus, the differential absorbance of the sample is defined as:

$$\Delta A(\lambda, \Delta t) = A_p(\lambda, \Delta t) - A_{np}(\lambda, \Delta t) = -\ln\left(\frac{I_{\text{probe}(p)}(\lambda, \Delta t)}{I_{\text{probe}(np)}(\lambda, \Delta t)}\right)$$

$I_{\text{probe}(p)}$  and  $I_{\text{probe}(np)}$  are the probe intensity transmitted by the sample with and without the pump beam.

The transient absorption measurement setup allows for the temporal evolution of differential absorbance to be measured either at a fixed wavelength or across the full spectrum at a fixed time after excitation. This results in a two-dimensional data matrix for different wavelengths or times. The data obtained from the transient absorption configurations, known as "single wavelength" and "broadband," complement each other. Generally, spectral information identifies different intermediate levels arising from photon interactions, while time evolution determines their lifetimes.

## 3. Results and Discussion

We employed Ti: sapphire laser pulses at a fundamental wavelength of 784 nm with a duration of 50 fs, alongside its second harmonic at 392 nm, as the probe and pump beams, respectively. The temporal resolution of the measurements is dictated by the cross-correlation function of the pump and probe beams, with a full width at half maximum (FWHM) of 110 fs obtained in our experiments. We measured the transmitted intensity of the probe beam both with and without the pump beam. Observing an increase in transmitted intensity in the presence of the pump, indicating a decrease in sample absorption. The absorbance of the sample was measured across the wavelength range of 740 to 820 nm. The presence of pump pulses resulted in a decrease in absorption, leading to a negative signal at 788 nm in the  $\Delta A$  spectrum, indicative of ground state bleaching. The  $\Delta A$  spectrum, recorded 350 fs after excitation, displays a stimulated emission band peaking at 798 nm, which overlaps with the ground state bleaching band, exhibiting a 10 nm Stokes shift. The temporal evolution of  $\Delta A$  at 784 nm for delays ranging from 0 to 1.1 picoseconds reveals a maximum at 70 fs post-pump, suggesting the presence of an unstable intermediate level. Fitting a double exponential



function to the experimental data yields a lifetime of approximately 150 fs for this intermediate state.

#### 4. Conclusion

This article explores the fundamental principles of transient absorption spectroscopy. We successfully implemented an ultrafast transient absorption setup based on the pump-probe method, utilizing the fundamental and second harmonic wavelengths of the Ti: sapphire femtosecond laser with energy levels of 1-3 nanojoules for the first time. The transient absorption spectrum of deionized water was investigated with femtosecond time resolution in two modes: one with fixed delay times for probe wavelengths ranging from 740 to 820 nm, and the other with a fixed probe wavelength for various time delays up to 1.1 picoseconds. The transient absorption spectra reveal a negative signal peaking at 788 nm, attributed to ground state bleaching due to the depopulation of the ground state induced by the pump. A negative signal at 798 nm, resulting from stimulated emission, overlaps with a 10 nm Stokes shift of the ground state bleaching band. The temporal evolution of the transient absorbance spectra shows an absorption peak at 70 fs delay between pump and probe pulses, indicating an unstable intermediate level resulting from a two-photon absorption process—one photon from the pump pulse at 392 nm and another from the probe pulse at 784 nm. Fitting a two-exponential function to the relaxation data yields a lifetime of approximately 150 fs for this level.

**Keywords:** *Transient Absorption Spectra, Ti: Sapphire Laser, Femtosecond Deionized Water.*

#### References

- [1] Krishnamoorthi, A., Khosh Abady, K., Dhankhar, D. and Rentzepis, P.M., "Ultrafast transient absorption spectra and kinetics of rod and cone visual pigments", *Molecules*, 28(15), 5829-5848, 2023. <https://doi.org/10.3390/molecules28155829>
- [2] Berera, R., van Grondelle, R. and Kennis, J.T., "Ultrafast transient absorption spectroscopy: principles and application to photosynthetic systems", *Photosynthesis research* 101, 105-118, 2009. <https://doi.org/10.1007/s11120-009-9454-y>
- [3] Wang, Q., Yun, L. and Yang, J., "Ultrafast molecular movies: Probing chemical dynamics with femtosecond electron and X-ray diffraction", *CCS Chemistry* 6(5), 1092-1109, 2024. <https://doi.org/10.31635/ccschem.023.202303425>
- [4] Li, N., Wang, Q. and Zhang, H.L., "2D Materials in Light: Excited-State Dynamics and Applications", *The Chemical Record* 20(5), 413-428, 2020. <https://doi.org/10.1002/tcr.201900050>
- [5] Karaman, C.O., Bykov, A.Y., Kiani, F., Tagliabue, G. and Zayats, A.V., "Ultrafast hot-carrier dynamics in ultrathin monocrystalline gold", *Nature*

<https://jap.alzahra.ac.ir>



- Communications* 15(1), 703-711, 2024. <https://doi.org/10.1038/s41467-024-44769-3>
- [6] Cooper, J.K., Reyes-Lillo, S.E., Hess, L.H., Jiang, C.M., Neaton, J.B. and Sharp, I.D., "Physical origins of the transient absorption spectra and dynamics in thin-film semiconductors: the case of BiVO<sub>4</sub>", *The Journal of Physical Chemistry C* 122(36), 20642-20652, 2018. <https://doi.org/10.1021/acs.jpcc.8b06645>
- [7] Norrish, R.G.W. and Porter, G., "Chemical reactions produced by very high light intensities", *Nature* 164(4172), 658-658, 1949. <https://doi.org/10.1038/164658a0>
- [8] Zewail, A.H., "Femtochemistry: Atomic-scale dynamics of the chemical bond", *The Journal of Physical Chemistry A* 104(24), 5660-5694, 2000. <https://doi.org/10.1021/jp001460h>.
- [9] Yu, H.Z., Baskin, J.S. and Zewail, A.H., "Ultrafast dynamics of porphyrins in the condensed phase: II. Zinc tetraphenylporphyrin", *The Journal of Physical Chemistry A* 106(42), 9845-9854, 2002. <https://doi.org/10.1021/jp020399j>.
- [10] Baskin, J.S., Yu, H.Z. and Zewail, A.H., "Ultrafast dynamics of porphyrins in the condensed phase: I. Free base tetraphenylporphyrin", *The Journal of Physical Chemistry A* 106(42), 9837-9844, 2002. <https://doi.org/10.1021/jp020398g>
- [11] Bloembergen, N., "Nonlinear optics and spectroscopy", *Reviews of Modern Physics* 54, 685, 1982. <https://doi.org/10.1103/RevModPhys.54.685>
- [12] Schawlow, A.L., "Spectroscopy in a new light", *Reviews of Modern Physics* 54(3), 697, 1982. <https://doi.org/10.1103/RevModPhys.54.697>
- [13] Strickland, D. and Mourou, G., "Compression of amplified chirped optical pulses", *Optics communications* 55(6), 447-449, 1985. [https://doi.org/10.1016/0030-4018\(85\)90120-8](https://doi.org/10.1016/0030-4018(85)90120-8)
- [14] Yu, H.Z., Baskin, J.S., Steiger, B., Wan, C.Z., Anson, F.C. and Zewail, A.H., "Femtosecond dynamics of metalloporphyrins: electron transfer and energy redistribution", *Chemical physics letters* 293(1-2), 1-8, 1998. [https://doi.org/10.1016/S0009-2614\(98\)00753-2](https://doi.org/10.1016/S0009-2614(98)00753-2)
- [15] Zhu, J., Waghé, S., Al-Ghamdi, A.A., "Using the femtosecond technique to study charge transfer dynamics", *Chin. J. Catal.*, 49, 5–7, 2023. [https://doi.org/10.1016/S1872-2067\(23\)64436-5](https://doi.org/10.1016/S1872-2067(23)64436-5)
- [16] Zhang, Q. and Luo, Y., "Probing the ultrafast dynamics in nanomaterial complex systems by femtosecond transient absorption spectroscopy", *High Power Laser Science and Engineering* 4, e22, 2016. <https://doi.org/10.1017/hpl.2016.23>
- [17] Elles, C.G., Shkrob, I.A., Crowell, R.A. and Bradforth, S.E., "Excited state dynamics of liquid water: Insight from the dissociation reaction following two-photon excitation", *The Journal of chemical physics* 126(16), 2007. <https://doi.org/10.1063/1.2727468>



- [18] Steinel, T., Asbury, J.B., Zheng, J. and Fayer, M.D., "Watching hydrogen bonds break: A transient absorption study of water", *The Journal of Physical Chemistry A* 108(50), 10957-10964, 2004. <https://doi.org/10.1021/jp046711r>.
- [19] Savchenko, V., Liu, J.C., Odelius, M., Ignatova, N., Gel'mukhanov, F., Polyutov, S. and Kimberg, V., "Photodissociation of water induced by a long UV pulse and probed by high-energy-resolution x-ray-absorption spectroscopy", *Physical Review A* 104(3), 032816, 2021. <https://doi.org/10.1103/PhysRevA.104.032816>.
- [20] Saleh, B.E. and Teich, M.C., *Fundamentals of photonics*. John Wiley & Sons, 2019.
- [21] Ha-Thi, M.H., Burdzinski, G., Pino, T. and Changenet, P., "Transient Absorption Spectroscopy in Inorganic Systems", In *Springer Handbook of Inorganic Photochemistry*, pp. 107-130. Cham: Springer International Publishing, 2022. [10.1007/978-3-030-63713-2\\_5](https://doi.org/10.1007/978-3-030-63713-2_5)
- [22] Cerullo, G., Manzoni, C., Lüer, L. and Polli, D., "Time-resolved methods in biophysics. 4. Broadband pump—probe spectroscopy system with sub-20 fs temporal resolution for the study of energy transfer processes in photosynthesis", *Photochemical & Photobiological Sciences* 6, 135-144, 2007. <https://doi.org/10.1039/B606949E>
- [23] Othonos, A., "Probing ultrafast carrier and phonon dynamics in semiconductors", *Journal of applied physics* 83(4), 1789-1830, 1998. <https://doi.org/10.1063/1.367411>
- [24] Pasanen, H.P., Khan, R., Odutola, J.A. and Tkachenko, N.V., "Transient Absorption Spectroscopy of Films: Impact of Refractive Index", *The Journal of Physical Chemistry C* 128(15), 6167-6179, 2024. <https://doi.org/10.1021/acs.jpcc.4c00981>
- [25] Knowles, K.E., Koch, M.D. and Shelton, J.L., "Three applications of ultrafast transient absorption spectroscopy of semiconductor thin films: spectroelectrochemistry, microscopy, and identification of thermal contributions", *Journal of Materials Chemistry C* 6(44), 11853-11867, 2018. <https://doi.org/10.1039/C8TC02977F>
- [26] Hajiesmaeilbaigi, F. and Azima, A., "Ultrashort-pulse generation by self-mode-locked Ti: sapphire lasers without apertures and with low pumping powers", *Canadian journal of physics* 76(6), 495-499, 1998. <https://doi.org/10.1139/p98-024>
- [27] Hajiesmaeilbaigi, F., Bostandoost, E.S., Motamedi, A.S. and Razzaghi, H., "Amplification of Ti: sapphire femtosecond laser pulses by Z-scheme Regenerative Amplifier", *Journal of Nuclear Science, Engineering and Technology (JONSAT)* 44(1), 144-150, 2023. <https://doi.org/10.24200/nst.2023.1327>

## بیناب سنجی جذب گذرای آب بدون یون با استفاده از

### تپ‌های لیزر فمتوثانیه تیتانیوم سفایر<sup>۱</sup>

فرشته حاج اسماعیل‌بیگی<sup>۲\*</sup>، حسین رزاقی<sup>۳</sup>، افتخار سادات بستان‌دشت<sup>۴</sup> و

اسماسادات معتمدی<sup>۵</sup>

تاریخ دریافت: ۱۴۰۳/۰۶/۲۵

فصلنامه علمی فیزیک کاربردی ایران

تاریخ بازنگری: ۱۴۰۳/۰۹/۱۷

دانشکده فیزیک، دانشگاه الزهرا

تاریخ پذیرش: ۱۴۰۳/۱۰/۰۳

سال پانزدهم، پیاپی ۴۰، بهار ۱۴۰۴

صفحه ۸۱ - ۸۵

#### چکیده:

بیناب سنجی جذب گذرای گذرا امکان مشاهده دینامیک حالت‌های برانگیخته پس از تحریک نوری را در بازه گستردگی از مقیاس‌های زمانی فمتوثانیه تا میلی ثانیه فراهم می‌کند. در این مقاله چیدمان اندازه گیری بیناب جذب گذرای فوق سریع مبتنی بر روش دمشق - کاوشن با استفاده از تپ‌های فمتوثانیه لیزر تیتانیوم سفایر در طول موج اصلی و هماهنگ دوم آن پیاده‌سازی شده است. بیناب جذب گذرای آب بدون یون به عنوان رایج‌ترین حلal با وضوح زمانی فمتوثانیه در دو حالت تغییرات جذب گذرای در زمان تأخیر ثابت در بازه طول موجی ۷۴۰ تا ۸۲۰ نانومتر از تپ کاوشن و همچنین طول موج کاوشن ثابت در ازای تأخیرهای زمانی مختلف در بازه صفتر تا ۱/۱ پیکوثانیه مورد بررسی قرار گرفته است. به دلیل اختلاف جمعیت ایجاد شده در اثر جذب فوتون‌های دمتش یک سیگنال منفی که نشان‌دهنده سفیدشدنگی تراز زمینه در طول موج ۷۸۱ نانومتر است، در بیناب تغییرات جذب گذرای مشاهده می‌شود. همچنین سیگنال منفی ناشی از گسیل‌القایی در طول موج ۷۹۱ نانومتر نیز در نوار سفیدشدنگی تراز زمینه ادغام شده و نسبت به آن ۱۰ نانومتر جایه‌جایی استوکس دارد. بیناب تحول زمانی تغییرات جذب گذرای در زمان تأخیر ۷۰ فمتوثانیه بین تپ‌های دمتش و کاوشن را نشان می‌دهد. این قله که ناشی از فرآیند جذب دو فوتونی، یکی از تپ دمتش در طول موج ۳۹۲ نانومتر و دیگری از تپ کاوشن با طول موج ۷۸۴ نانومتر می‌باشد، نشان‌دهنده تراز میانی است. با استفاده از پرازش داده‌های واهش و خوراندن تابع نمایی دوتایی طول عمر این تراز ۱۵۰ فمتوثانیه به دست می‌آید.

**واژگان کلیدی:** بیناب جذب گذرای لیزر تیتانیوم سفایر، فمتوثانیه، آب بدون یون.

<sup>۱</sup> <https://doi.org/10.22051/ijap.2024.48277.1425>

\* استاد، پژوهشکده فotonیک و فناوری‌های کوانتی، پژوهشگاه علوم و فنون هسته‌ای، تهران، ایران. (نویسنده مسئول). Email: fbaigi2000@yahoo.com fesmaeilbaigi@aeoi.org.ir

<sup>۲</sup> دانش آموخته کارشناسی ارشد، پژوهشکده فotonیک و فناوری‌های کوانتی، پژوهشگاه علوم و فنون هسته‌ای، تهران، ایران. Email: hrazaghhi2016@gmail.com

<sup>۳</sup> کارشناسی ارشد، پژوهشکده فotonیک و فناوری‌های کوانتی، پژوهشگاه علوم و فنون هسته‌ای، تهران، ایران. Email: meygolbostan@yahoo.com

<sup>۴</sup> استادیار، پژوهشکده فotonیک و فناوری‌های کوانتی، پژوهشگاه علوم و فنون هسته‌ای، تهران، ایران. Email: asma.motamed@yahoo.com



## ۱. مقدمه

جذب فوتون با استفاده از ماده سبب ایجاد فرآیندهای فوتوفیزیکی و فتوشیمیایی می‌شود. در دهه‌های گذشته مطالعه این فرآیندها منجر به کاربردهای گسترده‌ای در زمینه‌های مختلف علوم و فناوری از فیزیک تا پزشکی شده است [۱-۲]. فرآیندهای فوتوفیزیکی شامل فرآیندهای تابشی و غیرتابشی است که هیچ تغییر شیمیایی در ماده ایجاد نمی‌کنند. در حالی که فرآیندهای فوتوشیمیایی مربوط به اندرکنش نور با مولکول‌های ماده است و منجر به واکنش شیمیایی می‌شوند. هنگامی که مولکول با جذب فوتون به حالت برانگیخته تحریک می‌شود، فرآیندهای فتوشیمیایی یا فوتوفیزیکی می‌تواند در داخل مولکول‌ها و یا بین آن‌ها رخ دهدن [۳-۴]. این فرآیندها شامل شکستن یا ایجاد پیوند شیمیایی، انتقال انرژی درونی یا بین مولکولی، انتقال بار، واهلش ارتعاش مولکولی، و غیره است [۵]. تحت تابش نور، مولکول با جذب فوتون از حالت پایه به اولین حالت برانگیخته یا حالت‌های بالاتر تحریک می‌شود. مولکول برانگیخته شده از راه تبدیل داخلی و واهلش ارتعاشی به اولین حالت برانگیخته رفته و سپس با انتقال تابشی (فلورسانس یا فلورسانس تأخیری) یا انتقال غیرتابشی (تبدیل داخلی، واهلش ارتعاشی و یا عبور بین سامانه‌ای) به حالت پایه باز می‌گردد. اغلب فرآیندهای فوتوفیزیکی و فتوشیمیایی سریع هستند، اگرچه زمان پاسخ ابزارهای الکترونیکی برای بررسی این فرآیندهای بسیار سریع مناسب نمی‌باشد [۶]. طول عمر خودبه‌خودی بیشتر حالت‌های برانگیخته گذرا معمولاً در بازه زمانی فمتو یا پیکو ثانیه است. بنابراین مشاهده این رویدادهای سریع نیازمند روش‌های بینابسننجی با وضوح زمانی بالا برای ثبت واکنش‌های میانی القا شده با استفاده از نور است. بینابسننجی دمش - کاووش<sup>۱</sup> روشی قدرتمند برای تشخیص ترازهای میانی است که پس از تحریک در مقیاس‌های زمانی از فمتو تا میلی ثانیه تشکیل شده‌اند. روش دمش - کاووش در اواسط قرن بیستم با پژوهش‌های نوریش و پورتر که در ۱۹۶۷ موفق به دریافت جایزه نوبل شیمی شدند، آغاز شد [۷]. آزمایش‌های دمش - کاووش در دو مرحله انجام می‌شود. اولین مرحله که دمش نام دارد، شامل تحریک نمونه با تپ کوتاه و قوی نور به منظور جمعیت‌دار کردن ترازهای برانگیخته و ایجاد اختلاف جمعیت است. مرحله دوم شامل بررسی آن ترازهای ناپایدار با اندازه‌گیری تحول زمانی شدت باریکه نور ضعیف دوم به نام کاووش است. بررسی فرآیندهای فوق سریع (برای مثال در بازه فمتو ثانیه) نیازمند روش‌های تمام نوری است که از یک منبع لیزری فوق کوتاه برای تولید باریکه

<sup>۱</sup> Pump-probe



دمش و کاوش استفاده می‌کنند. در این روش‌ها تحول زمانی تراز برانگیخته با ایجاد تأخیر نوری بین باریکه کاوش و دمش اندازه‌گیری می‌شود.

وضوح زمانی در این اندازه‌گیری‌ها به مدت زمان تپهای دمش و کاوش یعنی تابع همبستگی دمش - کاوش بستگی دارد. ظهور لیزر تپی فمتو ثانیه و به ویژه توسعه لیزر تیتانیوم سفایر<sup>۱</sup> از دهه ۱۹۹۰ میلادی امکان مشاهده فرآیندهای فوق سریع را در سطح اتمی پس از جذب فوتون فراهم می‌کند و از این‌رو یک ابزار قدرتمند برای مطالعه دینامیک فوق سریع ارائه می‌دهد. پروفسور زویل از بیناب سنجی فمتو ثانیه برای مطالعه حالت‌های انتقالی واکنش‌های شیمیایی استفاده نمود، که تأثیر زیادی بر شیمی و فیزیک پایه داشت و منجر به تولد رشته جدیدی با نام شیمی فمتو ثانیه شد [۸-۱۰]. امروزه برای مطالعه انتقال انرژی بین مولکولی، لیزرهای فوق سریع به عنوان منبع تحریک به صورت کامل جایگزین لامپ‌های فلاش شده‌اند، و این روش معمولاً به عنوان بیناب سنجی جذب گذرا<sup>۲</sup> شناخته می‌شود. بررسی این روش بیناب‌نگاری فوق سریع در مژ بین فیزیک و شیمی بوده و دانشمندان تاکنون موفق به دریافت چندین جایزه نوبل مرتبط با این زمینه پژوهشی شده‌اند [۱۱-۱۳]. در مقایسه با بیناب‌های فلورسانس با وضوح زمانی، بیناب‌های جذب گذرا را می‌توان برای مطالعه تحول فرآیندهای غیر تابشی مورد استفاده قرار داد. بیناب جذب گذرا ای فمتو ثانیه<sup>۳</sup> نه تنها می‌تواند اطلاعات فرآیندهای فتوشیمیایی و فتوفیزیکی را برای مطالعه سامانه‌های یک جزئی فراهم کند، بلکه برای مطالعه فرآیندهای انتقال بار و انتقال انرژی بین کامپوزیت‌ها و محلول‌های شیمیایی نیز مورد استفاده قرار می‌گیرد [۱۴-۱۶].

آب به عنوان حلال پایه اغلب محلول‌های شیمیایی و جز اصلی بافت‌های زیستی است و برای بررسی محلول‌های مختلف ابتدا باید حلال آن را به صورت کامل شناسایی نمود. پویایی (دینامیک) حالت برانگیخته آب مایع برای حوزه‌های مختلف از جمله شیمی، علوم جوی و زیست‌شناسی اهمیت اساسی داشته و نقش مهمی در طیف وسیعی از کاربردها دارد. به دلیل پیچیدگی اندرکنش لیزر با آب و مقیاس زمانی فوق سریع آن دنبال کردن مسیرهای انتقال انرژی بلا فاصله پس از تابش لیزر بسیار مشکل است. اگرچه داده‌های زیادی در مورد سیستیک عامل‌های گذرا وجود دارد، اما دینامیک اولیه حاکم بر شکل گیری آنها به صورت کامل مشخص نشده است. پدیده‌های بزرگ مقیاس<sup>۴</sup> مانند تولید پلاسماء، انتشار موج ضربه و انفجار را می‌توان از راه تحریک آب با نور شدید القا

<sup>۱</sup> Ti: sapphire

<sup>۲</sup> Transient Absorption Spectroscopy

<sup>۳</sup> Femtosecond Transient Absorption

<sup>۴</sup> Macroscopic



کرد و با فناوری تصویربرداری با سرعت بالا ثبت نمود. اما معمولاً دینامیک میکروسکوپی اولیه آب برانگیخته شده با تابش نور، به صورت مستقیم قابل اندازه‌گیری نبوده و برای بررسی آن باید از روش‌های کاوش فوق سریع استفاده کرد [۱۷].

بنابر بررسی‌های به عمل آمده در اغلب مطالعاتی که تاکنون انجام شده است، برای درک دینامیک مولکول‌های آب از تپ‌های تقویت‌شده لیزر تیتانیوم سفایر با انرژی در محدوده چند میکرو تا میلی‌ژول به عنوان باریکه دمش استفاده شده است که سبب یونیزاسیون یا تجزیه مولکول آب می‌شود [۱۹-۱۷]. در این مقاله ابتدا اصول اولیه بیناب‌سنگی جذب گذران بررسی شده و سپس با استفاده از تپ‌های فتوثانیه نوسانگر لیزر تیتانیوم سفایر با انرژی ۳ نانوژول که بسیار کمتر از انرژی لازم برای تجزیه یا یونیزه کردن مولکول آب است چیدمان دمش - کاوش پیاده‌سازی شده و تحول زمانی بیناب جذب گذران مولکول‌های آب بدون یون در طول موج اصلی لیزر و هماهنگ دوم آن با وضوح زمانی فتوثانیه بررسی و اندازه‌گیری شده است.

### ۱.۱ بیناب‌سنگی جذب گذران

هنگامیکه فوتون توسط مولکول جذب شود انرژی به مولکول منتقل شده و سبب تحریک از حالت زمینه به حالت‌های الکترونی یا ارتعاشی بالاتر می‌شود. به دلیل پایستگی انرژی جذب تنها زمانی اتفاق می‌افتد که انرژی فوتون دقیقاً برابر با تفاوت بین حالت‌های زمینه و برانگیخته باشد. درنتیجه بررسی جذب یکی از رایج‌ترین روش‌ها برای بیناب‌سنگی است.

به صورت همه جانبه، بیناب‌سنگی جذبی بر اساس قانون بیر-لامبرت مورد بحث قرار می‌گیرد که شدت عبوری از ماده  $I(z)$  را به ضریب جذب وابسته به طول موج  $(\lambda)$  و طول مسیر  $(z)$  مرتبط می‌کند،

$$I(z) = I(0) e^{-\alpha(\lambda)z} \quad (1)$$

در حالی که،  $I(0)$  شدت ورودی به ماده است. از طرف دیگر، ضریب جذب به سطح مقطع انتقال که نشان‌دهنده احتمال انتقال از حالت پایه به حالت الکترونی یا ارتعاشی برانگیخته در اثر جذب فوتون فرودی و ایجاد اختلاف جمعیت بین حالت‌های پایه و برانگیخته است بستگی دارد و همچنین سطح مقطع انتقال به صورت معکوس با طول عمر حالت برانگیخته متناسب است [۲۰]. بنابراین بیناب جذب یک ماده بر اساس اختلاف جمعیت بین ترازهای آن است. افرون بر این، از آنجایی که اختلاف جمعیت به دلیل طول عمر خودبهخودی ترازها تابعی وابسته به زمان است، ضریب جذب نیز وابستگی زمانی مرتبط با آن دارد.



بیشتر حالت‌های برانگیخته ناشی از جذب بسیار کوتاه مدت هستند. طول عمر خودبه‌خودی بیشتر حالت‌های برانگیخته گذرا معمولاً در حد فمتوثانیه یا پیکوثانیه است [۲۱]. در حالی که روش‌های مختلفی با استفاده از لیزرهای فوق‌سریع برای بررسی بیناب جذب گذرا وجود دارد، اما اصول همه آن‌ها در روشی که به عنوان دمش - کاوش شناخته می‌شود، مشابه هستند [۲۲-۲۱]. بیناب جذب گذرا مبتنی بر روش دمش - کاوش ابزار قدرتمندی است که از تپ‌های لیزری فوق‌کوتاه برای مطالعه ویژگی‌های فوتوفیزیکی و فوتوشیمیایی مواد در زمان بسیار کوتاهی استفاده می‌کند [۲۳-۲۵]. هنگامی که نمونه برانگیخته می‌شود، ویژگی‌های فیزیکی یا شیمیایی آن تغییر کرده و ممکن است برخی واسطه‌های گذرا تولید شوند. در این روش هردو باریکه دمش و کاوش از یک تپ لیزر ناشی می‌شود و تپ کاوش نسبت به تپ تحریک تأخیر دارد. تپ دمش برای تحریک نمونه و تپ کاوش برای تشخیص جذب نمونه برانگیخته استفاده می‌شود. با مقایسه تغییرات لحظه‌ای جذب می‌توان مسیر واکنش، فرآیند جنبشی و بیناب جذب گذرا نمونه را بدست آورد [۲]. در این روش شدت باریکه کاوش ارسال شده بر روی نمونه با و بدون حضور باریکه دمش برای تأخیرهای مختلف باریکه کاوش نسبت به باریکه دمش  $Dt$  در طول موج معین ۱ اندازه‌گیری می‌شود. در صورتی که  $I_{probe(np)}$  شدت نور عبوری از نمونه در غیاب باریکه دمش و  $I_{probe(p)}$  شدت نور عبوری از نمونه در حضور باریکه دمش باشد خواهیم داشت:

$$I_{probe(np)}(\lambda, \Delta t) = I_o e^{-A_{np}(\lambda, \Delta t)} \quad (2)$$

$$I_{probe(p)}(\lambda, \Delta t) = I_o e^{-A_p(\lambda, \Delta t)}$$

که در آن،  $A_{np}(l, Dt)$  و  $A_p(l, Dt)$  به ترتیب جذب شدت باریکه کاوش در زمان حضور و بدون حضور باریکه دمش را نشان می‌دهند. بنابراین اختلاف در جذب نمونه با و بدون حضور باریکه دمش خواهد شد:

$$\Delta A(\lambda, \Delta t) = A_p(\lambda, \Delta t) - A_{np}(\lambda, \Delta t)$$

$$\Delta A(\lambda, \Delta t) = -\ln \left( \frac{I_{probe(p)}(\lambda, \Delta t)}{I_{probe(np)}(\lambda, \Delta t)} \right) \quad (3)$$

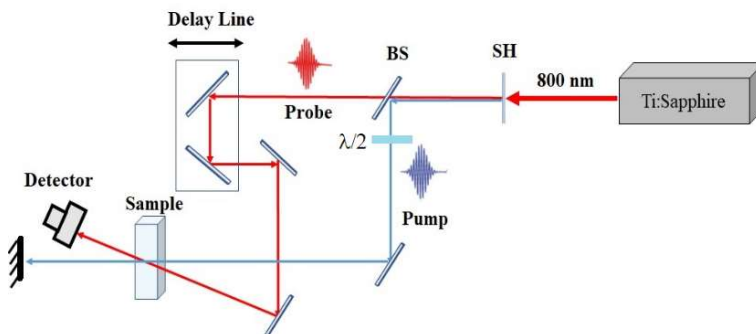
با توجه به پیکربندی چیدمان اندازه‌گیری جذب گذرا می‌توان تحول زمانی تغییر جذب نمونه در زمان حضور و عدم حضور باریکه دمش (DA) در یک طول موج ثابت یا بیناب کامل DA در یک زمان ثابت را پس از تحریک نمونه اندازه‌گیری کرد. در هر دو مورد یک ماتریس داده دو بعدی برای طول موج‌های مختلف یا زمان‌های مختلف بدست می‌آید. داده‌های بدست آمده از هر دو پیکربندی جذب گذرا که عنوان "تک طول موج" و "پهن باند" شناخته می‌شوند، مکمل یکدیگر هستند. داده‌های بینابی برای شناسایی ترازهای میانی متفاوتی که در اثر واکنش با فوتون وجود آمده‌اند استفاده می‌شود در حالیکه بررسی تحول زمانی امکان مشخص کردن طول عمر آن‌ها را فراهم می‌کند.

## ۲.۱ چیدمان آزمایشگاهی

چیدمان تجربی اندازه‌گیری بیناب جذب گذرای پیاده‌سازی شده در این پژوهش در شکل (۱) ارائه شده است. در این چیدمان قسمتی از باریکه لیزر تیتانیوم سفایر با پهنهای زمانی ۵۰ فمتوثانیه و نرخ تکرار ۸۰ مگاهرتز و توان متوسط ۳۰۰ میلیوات در طول موج مرکزی ۷۸۴ نانومتر [۲۶-۲۷] پس از عبور از بلور غیرخطی BBO به هماهنگ دوم در طول موج ۳۹۲ نانومتر تبدیل شده و پس از بازتاب از تیغه شکافنده طول موج به عنوان باریکه دمش بر روی سلول شامل نمونه تابانده می‌شود. با توجه به آنکه برای تولید باریکه هماهنگ دوم از بلور غیرخطی با تطبیق فاز نوع I استفاده شده است، قطبش باریکه هماهنگ دوم عمود بر باریکه اصلی است ( $n_e(W) = n_0(W) + n_0(W)$ ). بنابراین برای موازی کردن قطبش دو باریکه دمش و کاوش یک تیغه نیم موج در مسیر باریکه دمش قرار گرفته است. قسمتی از باریکه لیزر در طول موج اصلی پس از عبور از تیغه شکافنده طول موج به عنوان باریکه کاوش مورد استفاده قرار می‌گیرد. در مسیر باریکه کاوش خط تأخیرنوری مشکل از تمام بازتابنده که بر روی سکوی انتقال موتوری با دقت بالای کنترل شده با رایانه قرار دارد، قرار داده شده است. دقت و تکرارپذیری سکوی انتقال برابر با ۰/۲۱ میکرون معادل با ۰/۷ فمتوثانیه است. خط تأخیر را می‌توان بیش از ۴ سانتی‌متر جابه‌جا کرد، بنابراین تأخیر زمانی تا ۱۰۰ پیکوثانیه را می‌توان بین باریکه‌های دمش و کاوش ایجاد نمود. باریکه دمش با قطر ۲ میلی‌متر بر روی نمونه تابیده و پس از عبور از سلول مسدود می‌شود. برای بررسی تغییرات جذبی ناشی از دمش، باریکه کاوش که شدت آن به حدی ضعیف است که جمعیت قابل ملاحظه‌ای را از حالت زمینه به حالت برانگیخته (یا بر عکس) منتقل نمی‌کند، بر روی نمونه با قطر کمی کوچک‌تر از دمش به صورتی که با آن همپوشی فضایی داشته باشد متتمرکز شده و پس از عبور از نمونه به آشکارساز فرستاده می‌شود.



آشکارساز شامل مونوکروماتور TII-S-3801 SOLAR برای مشخص کردن طول موج باریکه کاوش و فوتومولتی‌پلایر R1527P HAMAMATSU برای اندازه‌گیری شدت خروجی از نمونه می‌باشد. برای بررسی تغییرات جذب گذرای نمونه شدت عبوری باریکه کاوش با و بدون حضور باریکه دمش اندازه‌گیری می‌شود. در آزمایش‌های انجام شده تغییر سرعت حرکت خط تأخیر و تعداد گام‌ها و مدت توقف در هر نقطه از خط تأخیر برای ثبت شدت با کمک برنامه رایانه‌ای هدایت می‌شود. برای اندازه‌گیری دقیق باید همپوشی فضایی بین باریکه‌های کاوش و دمsh بر روی نمونه، در پنجره زمانی ۱۳۰ پیکو ثانیه که مربوط به جایه‌جایی ۲ سانتی‌متری تمام بازتابنده است (که در آن  $C$  سرعت نور و  $d$  فاصله‌ای است که توسط تمام بازتابنده طی می‌شود)  $Dt=2d/C$  برقرار باشد. وضوح زمانی اندازه‌گیری‌ها به تابع همبستگی برخورداری باریکه‌های دمsh و کاوش بستگی دارد. افزون بر مدت زمان تپ لیزر عوامل دیگری از جمله ضخامت و جنس سلول شامل نمونه، قطعات اپتیکی مورد استفاده در مسیر باریکه و همچنین زاویه برخورد دو باریکه دمsh و کاوش بر وضوح اندازه‌گیری تاثیر دارند.



**Fig. 1** Transient absorption spectrum measurement setup.  $\omega$  is the fundamental frequency with red color as the probe beam and  $2\omega$  is the second harmonic frequency with blue color as the pump beam from a Ti:sapphire laser. SH is the second harmonic generator set, BS is the wavelength splitter and  $\lambda/2$  is the half-wave plate.

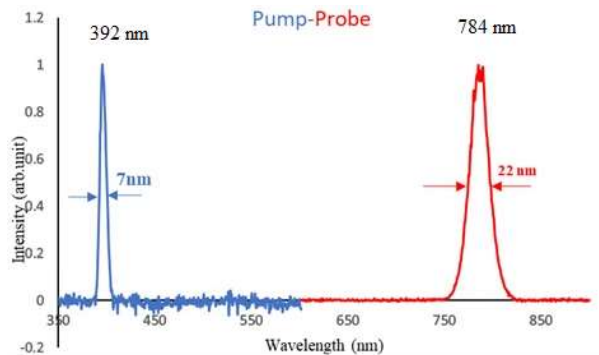
شکل ۱ چیدمان اندازه‌گیری یناب جذب گذرا.  $W$  بسامد اصلی با رنگ قرمز به عنوان باریکه کاوش و  $2W$  بسامد هماهنگ دوم با رنگ آبی به عنوان باریکه دمsh از لیزر تیتانیوم سفایر است. SH مجموعه تولید کننده هماهنگ دوم شکافنده طول موجی و  $\lambda/2$  نیم موج است.

در این پژوهش از نمونه آب بدون یون در سلول کوارتز با ضخامت ۱ سانتی‌متر استفاده شده است. قطر باریکه دمsh در حدود ۲ میلی‌متر و قطر باریکه کاوش کمی کوچک‌تر از آن است. قطبیش

باریکه دمش و کاوش نیز موازی یکدیگر است. آزمایش‌ها در اتاق تمیز با شرایط ثابت دمای محیط ۲۰ درجه سانتی‌گراد و رطوبت ۵۰ درصد انجام شده است.

## ۲. نتایج و بحث

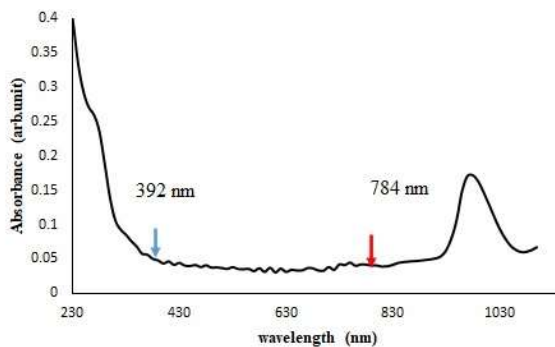
بیناب طول موج باریکه‌های دمش و کاوش در شکل (۲) نشان داده شده است. همانطور که ملاحظه می‌شود پهنای بینابی در نیم‌بیشینه باریکه کاوش که در طول موج اصلی لیزر تیتانیوم سفایر (۷۸۴ نانومتر) است و باریکه دمش که در طول موج هماهنگ دوم (۳۹۲ نانومتر) آن است به ترتیب برابر با ۲۲ و ۷ نانومتر است. بنابراین پهنای بینابی باریکه کاوش بیش از ۳ برابر باریکه دمش است. بیناب جذب خطی نمونه آب مورد استفاده در شکل (۳) ارائه شده است. جذب خطی نمونه در طول موج‌های دمش و کاوش بسیار ناچیز و در حدود ۰/۰۴ عکس سانتی‌متر است.



**Fig. 2** The spectrum of the fundamental wavelength of the Ti: sapphire laser at 784 nm and its second harmonic at 392 nm.

شکل ۲ بیناب طول موج اصلی لیزر تیتانیوم سفایر در ۷۸۴ نانومتر و هماهنگ دوم آن در ۳۹۲ نانومتر.

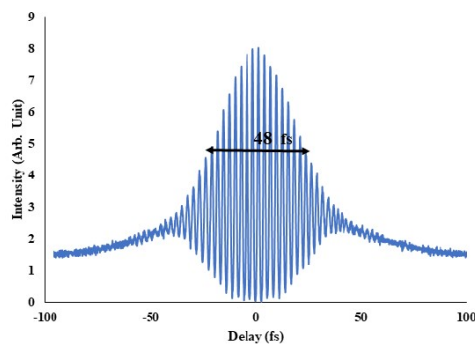




**Fig. 3** Linear absorption spectrum of the deionized water sample.

شکل ۳ بیناب جذب خطی نمونه آب بدون یون.

شکل (۴) پهنهای زمانی تپ کاوش مورد استفاده که با استفاده از خودهمبستگر شدت اندازه گیری شده است را نشان می‌دهد. با توجه به آنکه وضوح زمانی اندازه گیری‌ها افزون بر مدت زمان تپ مورد استفاده به تابع همبستگی برخوردي باریکه‌های دمش و کاوش بستگی دارد، تابع پاسخ چیدمان اندازه گیری جذب گذرا (همبستگی برخوردي) با اختلاط بسامدی باریکه‌های دمش و کاوش در بلور غیرخطی BBO که در محل نمونه قرار می‌گيرد، اندازه گیری و در شکل (۵) ارائه شده است. تمام پهنا در نیم بیشینه تابع همبستگی با فرض گوسین بودن برابر با  $110\text{ fs}$  فمتو ثانیه بدست می‌آيد.



**Fig. 4** Temporal width of the probe pulse measured with the interferometric autocorrelator.

شکل ۴ پهنهای زمانی تپ کاوش اندازه گیری شده با خودهمبستگر تداخلی.

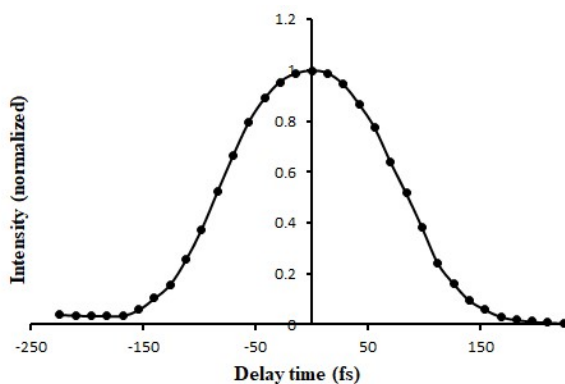
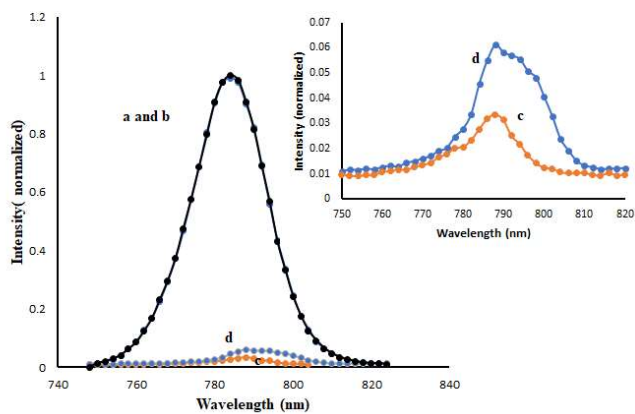


Fig. 5 Cross-correlation function of Pump and Prob pulses.

شکل ۵ تابع همبستگی برخوردي تپ‌های دمش و کاوش.

نمودار شکل (۶-الف و ب) شدت باریکه کاوش ورودی به سلول شامل آب بدون یون و خروجی از آن را در زمان حضور و عدم حضور باریکه دمش در طول موج مرکزی ۷۸۴ نانومتر نشان می‌دهد و با توجه به آنکه آشکار ساز تنها تغییرات باریکه کاوش را نشان می‌دهد، دو نمودار بر یکدیگر منطبق هستند. همانطور که در نمودارهای شکل (۶-ج و د) ملاحظه می‌شود، در هنگام عبور تپ از سلول شامل نمونه بدليل پاشندگی پدیده چیرپ در تپ خروجی از نمونه اتفاق افتاده و قله بیناب باریکه کاوش در هر دو حالت با و بدون حضور باریکه دمش ۴ نانومتر جایه جایی داشته و به ۷۸۸ نانومتر منتقل شده است. همچنین شدت باریکه کاوش خروجی از سلول در حضور باریکه دمش افزایش یافته که نشان دهنده کاهش جذب نمونه است.

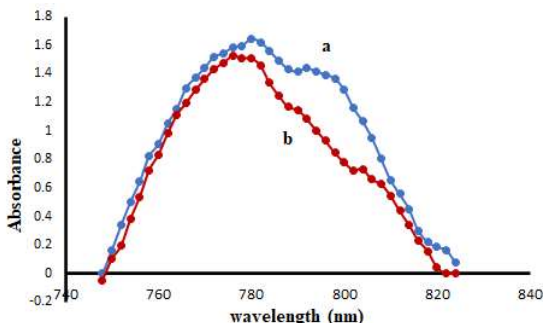




**Fig. 6** Normalized intensity of the probe laser beam in the presence and absence of the pump laser beam. Intensity of the beam entering the cell (a) without the pump beam, and (b) with the pump beam. The transmitted Intensity of the cell (c) without the pump beam, and (d) with the pump beam.

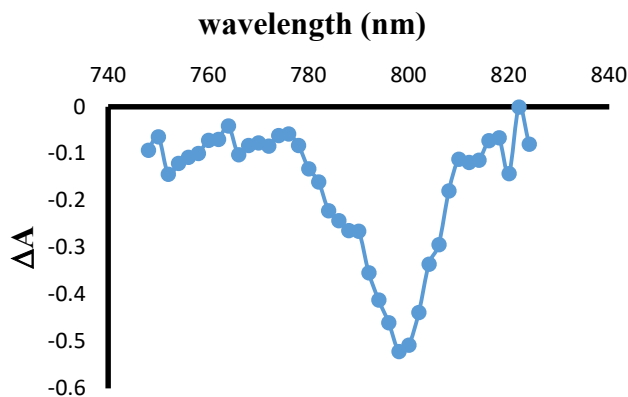
شکل ۶ شدت بهنجار شده باریکه لیزر کاوش ورودی و خروجی به نمونه در حضور و عدم حضور باریکه لیزر دمشن. (الف) شدت باریکه ورودی به سلول بدون حضور باریکه دمشن، (ب) شدت باریکه ورودی به سلول با حضور باریکه دمشن، (ج) شدت باریکه خروجی از سلول بدون حضور باریکه دمشن و (د) شدت باریکه خروجی از سلول با حضور باریکه دمشن.

ضریب جذب باریکه کاوش در بازه طول موجی ۷۴۰ تا ۸۲۰ نانومتر در زمان حضور و عدم حضور باریکه دمشن در شکل (۷) و تغییرات بیناب جذب گذرای نمونه ۳۵۰ فمتو ثانیه پس از تحریک در شکل (۸) ارائه شده است.



**Fig. 7** Absorption spectrum of the sample after excitation at a wavelength of 784 nm (a) without the presence of the pump beam, and (b) with the presence of the pump beam.

شکل ۷ بیناب جذب نمونه پس از تحریک با طول موج ۷۸۴ نانومتر (الف) بدون حضور باریکه دمشن و (ب) با حضور باریکه دمشن.



**Fig. 8** Differential absorption coefficient of the sample at 350 femtoseconds after excitation with a pump pulse.

شکل ۸ تغییرات ضریب جذب نمونه ۳۵۰ فمتوثانیه پس از تحریک با تپ دمش.

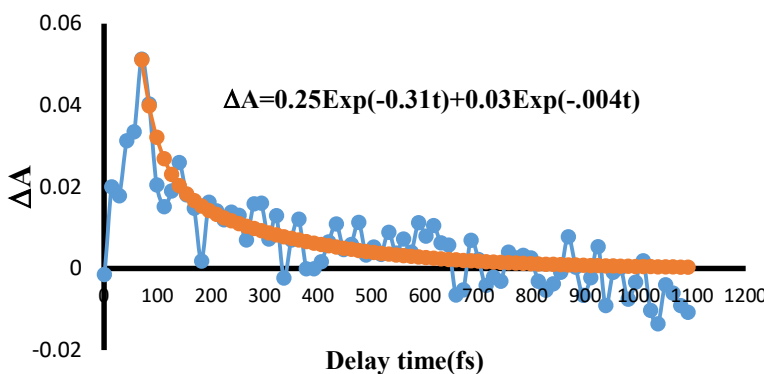
تغییرات بوجود آمده در جذب ناشی از اختلاف جمعیت ایجاد شده در اثر جذب فوتون‌های دمشن می‌باشد. کسری از مولکول‌ها به دلیل حضور تپ نوری دمش از حالت زمینه به حالت برانگیخته تحریک شده و سبب کاهش جمعیت حالت زمینه می‌گردد. همانطور که در شکل (۷) و (۸) ملاحظه می‌شود، جذب در زمان حضور تپ نوری دمش کاهش یافته و یک سیگنال منفی در بیناب  $\Delta A$  مشاهده می‌شود که مقدار آن در طول موج ۷۸۸ نانومتر به  $-0.55 \Delta A$  رسیده و بنابراین کاهش جذب منجر به سفیدشدن تراز زمینه در طول موج باریکه کاوش شده است. از طرف دیگر با توجه به آنکه در یک سامانه دو ترازی ضرایب انشیتنی برای جذب از تراز زمینه به برانگیخته با گسیل القایی از تراز برانگیخته به زمینه برابر است، بنابراین با جمعیت‌دار شدن تراز برانگیخته در زمان حضور تپ نوری دمش، گسیل القایی به حالت زمینه در هنگام عبور تپ نوری کاوش اتفاق می‌افتد. در حقیقت، در طی فرآیند فیزیکی گسیل القایی یک فوتون از تپ نوری کاوش گسیل فوتون دیگری از تراز برانگیخته به حالت زمینه را القا می‌کند. باید توجه داشت که شدت تپ کاوش به اندازه‌ای ضعیف است که این فرآیند تغییر قابل ملاحظه‌ای در جمعیت تراز برانگیخته ایجاد نمی‌کند، اما گسیل القایی سبب افزایش شدت دریافت شده توسط آشکارساز شده و بنابراین یک سیگنال منفی در بیناب  $\Delta A$  در طول موج ۷۹۸ نانومتر مشاهده می‌شود که مقدار آن به  $-0.52 \Delta A$  رسیده و نسبت به سفید شدن تراز



زمینه ۱۰ نانومتر جابه‌جایی استوکس دارد که نشان‌دهنده اختلاف انرژی بین دو فوتون جذب و گسیل شده است. همچنین با توجه به کوچک بودن جابه‌جایی استوکس، باند ناشی از گسیل القایی در ۷۹۸ نانومتر با نوار ناشی از سفیدشدگی تراز زمینه در ۷۸۸ نانومتر هم‌پوش شده و در یکدیگر ادغام شده‌اند.

از آنجاییکه در محدوده طول موجی مورد بررسی هیچ سیگنال مثبتی در بیناب  $\Delta A$  مشاهده نشده است، می‌توان نتیجه گرفت که تحت دمش نمونه جذب حالت برانگیخته یعنی گذار از حالت برانگیخته به حالت‌های برانگیخته بالاتر که سبب کاهش شدت باریکه کاوش خروجی از نمونه شود یا واکنشی که منجر به ایجاد حالت‌های گذرا یا طولانی مدت شوند، رخ نداده است.

همانطور که در شکل (۳) نشان داده شده است، آب در طول موج‌های ۷۸۴ و ۳۹۲ نانومتر مربوط به تپ‌های کاوش و دمش شفاف است. با وجود آنکه انرژی تک تک فوتون‌های دمش و کاوش نمی‌تواند توسط نمونه جذب شود، اما هنگامی که از تپ‌های نوری فوق کوتاه (زیر ۱۰۰ فمتو ثانیه) استفاده شود، به دلیل پذیرفتاری غیرخطی ممکن است در طی اندرکنش نور با ماده فرآیند جذب دو فوتونی همزمان (یک فوتون از تپ لیزر دمش و یک فوتون از تپ لیزر کاوش) رخ داده و بنابراین در بازه‌های زمانی بسیار سریع تغییراتی در بیناب جذب گذرای ماده بوجود آید. این تغییرات از حضور همزمان تپ‌های دمش و کاوش در نمونه بدست می‌آیند. بنابراین برای بدست آوردن بیناب کامل و داده‌های تحول زمانی نمونه مورد مطالعه باید تغییرات  $\Delta A$  برای تأخیرهای زمانی مختلف بین باریکه‌های دمش و کاوش مورد بررسی قرار گیرد. تحول زمانی تغییرات ضریب جذب آب بدون یون در طول موج ۷۸۴ نانومتر باریکه کاوش در زمان‌های تأخیر صفر تا ۱/۱ پیکو ثانیه به همراه تابع واهلشی نمایی دوتایی برآش شده به داده‌های تجربی در شکل (۹) ارائه شده است. پس از گذشت ۷۰ فمتو ثانیه از حضور باریکه دمش تغییرات جذب نسبت به عدم حضور دمش دارای یک بیشینه است که نشان‌دهنده وجود تراز میانی با انرژی مجموع دوفوتون دمش و کاوش می‌باشد که سبب افزایش جذب نمونه شده است. طول عمر تراز میانی بوجود آمده، با استفاده از تابع نمایی دوتایی برآش شده به روند واهلشی بعد از قله جذب، حدود ۱۵۰ فمتو ثانیه بدست می‌آید.



**Fig. 9** Temporal evolution of the absorption change as a function of the time delay between two pump and probe pulses. (a) Experimental data and (b) Fitted double exponential function.

شکل ۹ تحول زمانی تغییر جذب بر حسب تأخیر زمانی بین دو تپ دمش و کاوش (الف) داده‌های تجربی و (ب) تابع نمایی دو تایی برآورش شده.

### ۳. نتیجه‌گیری

بیناب‌نگاری جذب گذرا در بازه زمانی فمتوثانیه ابزاری توانمند برای بررسی دینامیک پدیده‌های فوتوفیزیکی و فوتوشیمیایی فوق‌سریع است. با اندازه‌گیری تغییر جذب گذرا وابسته به زمان امکان مطالعه تحول زمانی ترازهای برانگیخته و طول عمر ترازهای میانی با طول عمر کوتاه فراهم می‌شود. در این مقاله اصول اولیه بیناب‌سنجدی جذب گذرا بررسی و برای اولین بار چیدمان اندازه‌گیری بیناب جذب گذرا و فوق‌سریع مبتنی بر روش دمش-کاوش با استفاده از طول موج اصلی و هماهنگ دوم لیزر فمتوثانیه تیتانیوم سفایر در محدوده انرژی ۳۱-۳۳ نانوژول پیاده‌سازی شده است و بدنبال آن بدون یونیزاسیون یا شکست مولکولی شناسایی تراز ناپایدار میانی مورد بررسی قرار گرفته است. نتایج بررسی بیناب جذب گذرا آب بدون یون با وضوح زمانی فمتوثانیه در دو حالت تغییرات جذب گذرا در زمان تأخیر ثابت به ازای طول موج‌های مختلف کاوش در بازه ۷۴۰ تا ۸۲۰ نانومتر و همچنین طول موج کاوش ثابت در ازای تأخیرهای زمانی مختلف نشان می‌دهند که ۳۵۰ فمتوثانیه پس از تحریک نمونه توسط تپ‌های هماهنگ دوم لیزر تیتانیوم سفایر در طول موج مرکزی ۳۷۴ نانومتر یک سیگنال منفی در بیناب تغییرات جذب باریکه کاوش در طول موج ۷۸۸ نانومتر بوجود آمده که نشان‌دهنده کاهش جذب و سفیدشدگی تراز زمینه است. همچنین با جمعیت دارشدن تراز برانگیخته در زمان حضور تپ دمsh، گسیل القایی در طول موج ۷۹۸ نانومتر اتفاق افتاده که با ۱۰



نانومتر جابه‌جایی استوکس در سفیدشدگی تراز زمینه کمابیش همپوش شده است. همچنین بررسی تحول زمانی تغییرات جذب گذرا در بازه زمانی صفر تا ۱/۱ پیکوثانیه تأخیر بین تپ‌های دمش و کاوش نشان می‌دهد که با وجود پایین بودن جذب تک فوتون در طول موج‌های ۷۸۸ نانومتر تپ کاوش و ۳۷۴ نانومتر تپ دمش توسط مولکول‌های آب بدون یون که نشان‌دهنده عدم وجود تراز پایدار است، ۷۰ فمتوثانیه پس از تحریک نمونه، در اثر فرآیند جذب دوفوتونی یک قله در بیناب جذب ایجاد می‌شود که نشان‌دهنده وجود یک تراز میانی است. با برازش روند واحلشی بعد از قله جذب توسط تابع نمایی دوتایی طول عمر این تراز میانی حدود ۱۵۰ فمتوثانیه بدست آمده است.

#### ۴. تقدیر و تشکر

نویسنده‌گان مقاله از حمایت پژوهشکده فotonیک و فناوری‌های کوانتمی برای اجرای این تحقیق تشکر و قدردانی می‌نمایند.

#### منابع

- [1] Krishnamoorthi, A., Khosh Abady, K., Dhankhar, D. and Rentzepis, P.M., "Ultrafast transient absorption spectra and kinetics of rod and cone visual pigments", *Molecules*, 28(15), 5829-5848, 2023. <https://doi.org/10.3390/molecules28155829>
- [2] Berera, R., van Grondelle, R. and Kennis, J.T., "Ultrafast transient absorption spectroscopy: principles and application to photosynthetic systems", *Photosynthesis research* 101, 105-118, 2009. <https://doi.org/10.1007/s11120-009-9454-y>
- [3] Wang, Q., Yun, L. and Yang, J., "Ultrafast molecular movies: Probing chemical dynamics with femtosecond electron and X-ray diffraction", *CCS Chemistry* 6(5), 1092-1109, 2024. <https://doi.org/10.31635/ccschem.023.202303425>
- [4] Li, N., Wang, Q. and Zhang, H.L., "2D Materials in Light: Excited-State Dynamics and Applications", *The Chemical Record* 20(5), 413-428, 2020. <https://doi.org/10.1002/tcr.201900050>
- [5] Karaman, C.O., Bykov, A.Y., Kiani, F., Tagliabue, G. and Zayats, A.V., "Ultrafast hot-carrier dynamics in ultrathin monocrystalline gold", *Nature Communications* 15(1), 703-711, 2024. <https://doi.org/10.1038/s41467-024-44769-3>
- [6] Cooper, J.K., Reyes-Lillo, S.E., Hess, L.H., Jiang, C.M., Neaton, J.B. and Sharp, I.D., "Physical origins of the transient absorption spectra and dynamics in thin-film semiconductors: the case of BiVO<sub>4</sub>", *The Journal of Physical Chemistry C* 122(36), 20642-20652, 2018. <https://doi.org/10.1021/acs.jpcc.8b06645>
- [7] Norrish, R.G.W. and Porter, G., "Chemical reactions produced by very high light intensities", *Nature* 164(4172), 658-658, 1949. <https://doi.org/10.1038/164658a0>
- [8] Zewail, A.H., "Femtochemistry: Atomic-scale dynamics of the chemical bond", *The Journal of Physical Chemistry A* 104(24), 5660-5694, 2000. <https://doi.org/10.1021/jp001460h>.

- [9] Yu, H.Z., Baskin, J.S. and Zewail, A.H., "Ultrafast dynamics of porphyrins in the condensed phase: II. Zinc tetraphenylporphyrin", *The Journal of Physical Chemistry A* 106(42), 9845-9854, 2002. <https://doi.org/10.1021/jp0203999>.
- [10] Baskin, J.S., Yu, H.Z. and Zewail, A.H., "Ultrafast dynamics of porphyrins in the condensed phase: I. Free base tetraphenylporphyrin", *The Journal of Physical Chemistry A* 106(42), 9837-9844, 2002. <https://doi.org/10.1021/jp020398g>
- [11] Bloembergen, N., "Nonlinear optics and spectroscopy", *Reviews of Modern Physics* 54, 685, 1982. <https://doi.org/10.1103/RevModPhys.54.685>
- [12] Schawlow, A.L., "Spectroscopy in a new light", *Reviews of Modern Physics* 54(3), 697, 1982.  
<https://doi.org/10.1103/RevModPhys.54.697>
- [13] Strickland, D. and Mourou, G., "Compression of amplified chirped optical pulses", *Optics communications* 55(6), 447-449, 1985. [https://doi.org/10.1016/0030-4018\(85\)90120-8](https://doi.org/10.1016/0030-4018(85)90120-8)
- [14] Yu, H.Z., Baskin, J.S., Steiger, B., Wan, C.Z., Anson, F.C. and Zewail, A.H., "Femtosecond dynamics of metalloporphyrins: electron transfer and energy redistribution", *Chemical physics letters* 293(1-2), 1-8, 1998. [https://doi.org/10.1016/S0009-2614\(98\)00753-2](https://doi.org/10.1016/S0009-2614(98)00753-2)
- [15] Zhu, J., Wageh, S., Al-Ghamdi, A.A., "Using the femtosecond technique to study charge transfer dynamics", *Chin. J. Catal.*, 49, 5-7, 2023. 10.1016/S1872-2067(23)64436-5
- [16] Zhang, Q. and Luo, Y., "Probing the ultrafast dynamics in nanomaterial complex systems by femtosecond transient absorption spectroscopy", *High Power Laser Science and Engineering* 4, e22, 2016. <https://doi.org/10.1017/hpl.2016.23>
- [17] Elles, C.G., Shkrob, I.A., Crowell, R.A. and Bradforth, S.E., "Excited state dynamics of liquid water: Insight from the dissociation reaction following two-photon excitation", *The Journal of chemical physics* 126(16), 2007. 10.1063/1.2727468
- [18] Steinle, T., Asbury, J.B., Zheng, J. and Fayer, M.D., "Watching hydrogen bonds break: A transient absorption study of water", *The Journal of Physical Chemistry A* 108(50), 10957-10964, 2004. <https://doi.org/10.1021/jp046711r>.
- [19] Savchenko, V., Liu, J.C., Odelius, M., Ignatova, N., Gel'mukhanov, F., Polyutov, S. and Kimberg, V., "Photodissociation of water induced by a long UV pulse and probed by high-energy-resolution x-ray-absorption spectroscopy", *Physical Review A* 104(3), 032816, 2021. <https://doi.org/10.1103/PhysRevA.104.032816>.
- [20] Saleh, B.E. and Teich, M.C., *Fundamentals of photonics*. John Wiley & Sons, 2019.
- [21] Ha-Thi, M.H., Burdzinski, G., Pino, T. and Changenet, P., "Transient Absorption Spectroscopy in Inorganic Systems", In *Springer Handbook of Inorganic Photochemistry*, pp. 107-130. Cham: Springer International Publishing, 2022. 10.1007/978-3-030-63713-2\_5
- [22] Cerullo, G., Manzoni, C., Lüer, L. and Polli, D., "Time-resolved methods in biophysics. 4. Broadband pump—probe spectroscopy system with sub-20 fs temporal resolution for the study of energy transfer processes in photosynthesis", *Photochemical & Photobiological Sciences* 6, 135-144, 2007. <https://doi.org/10.1039/B606949E>
- [23] Othonos, A., "Probing ultrafast carrier and phonon dynamics in semiconductors", *Journal of applied physics* 83(4), 1789-1830, 1998. <https://doi.org/10.1063/1.367411>
- [24] Pasanen, H.P., Khan, R., Odutola, J.A. and Tkachenko, N.V., "Transient Absorption Spectroscopy of Films: Impact of Refractive Index", *The Journal of Physical Chemistry C* 128(15), 6167-6179, 2024. <https://doi.org/10.1021/acs.jpcc.4c00981>
- [25] Knowles, K.E., Koch, M.D. and Shelton, J.L., "Three applications of ultrafast transient absorption spectroscopy of semiconductor thin films: spectroelectrochemistry, microscopy, and identification of thermal contributions", *Journal of Materials Chemistry C* 6(44), 11853-11867, 2018. <https://doi.org/10.1039/C8TC02977F>



- [26] Hajiesmaeilbaigi, F. and Azima, A., "Ultrashort-pulse generation by self-mode-locked Ti: sapphire lasers without apertures and with low pumping powers", *Canadian journal of physics* 76(6), 495-499, 1998. <https://doi.org/10.1139/p98-024>
- [27] Hajiesmaeilbaigi, F., Bostandoost, E.S., Motamed, A.S. and Razzaghi, H., "Amplification of Ti: sapphire femtosecond laser pulses by Z-scheme Regenerative Amplifier", *Journal of Nuclear Science, Engineering and Technology (JONSAT)* 44(1), 144-150, 2023. <https://doi.org/10.24200/nst.2023.1327>



This article is an open-access article distributed under the terms and conditions of the Creative Commons Attribution-Noncommercial 4.0 International (CC BY-NC 4.0 license) (<http://creativecommons.org/licenses/by-nc/4.0/>).